

九州工業大学 正員 渡辺 明

九州工業大学。学生員 古賀 順二

1. まえがき

鉄筋コンクリート構造物の高層化が進むにつれて、耐震安全性が問題となっている。鉄筋コンクリート柱の地震における脆性的破壊の防止対策として帶筋やスパイラルフープ筋を用いて、横方向を拘束することがあげられる。スパイラルフープ筋は帶筋に比べ、定着が不要であり、施工が比較的容易等の利点があるので、最近、用いられるようになってきた。そこで、筆者らは、降伏点応力度 σ_{sy} が 30 kg/cm^2 と 130 kg/cm^2 の 2 種類のスパイラルフープ筋を用いて、模型鉄筋コンクリート短柱を製作し、静的破壊試験を行なうことにより、コンクリート柱の耐力および鉄筋、スパイラルフープ筋の挙動などを調べた。また、コンクリートに高強度コンクリートを用いた場合についても、実験を行なった。

2. 模型鉄筋コンクリート短柱の耐力

2.1 試験方法 供試体の形状寸法を図-1 に示す。コンクリートには普通ポルトランドセメント、砕石（最大粒径 15 mm 、粗粒率 6.14 ）、川砂（最大粒径 5 mm 、粗粒率 2.33 ）を使用し、 $W/C = 55\%$ 、 $s/a = 47\%$ とした。鉄筋には SD24 の公称直径 9.53 mm のものを 4 本用いた。スパイラルフープ筋は降伏点応力度が 30 kg/cm^2 、 130 kg/cm^2 のもので、それぞれピッチ 2 cm 、 4 cm 、 6 cm のものを用いた。コンクリート、鉄筋、スパイラルフープ筋の応力はストレインゲージを用い、また、柱の変位はダイヤルゲージを用いてそれぞれ測定した。

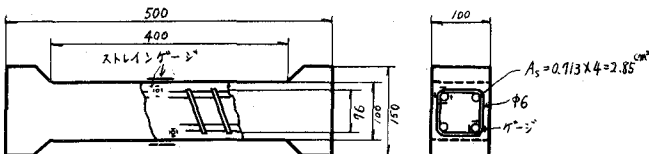


図-1 試験体の形状寸法およびゲージ貼付位置

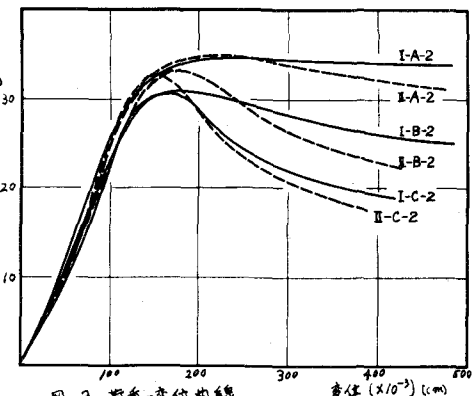
2.2 結果および考察 試験結果を表-1 に示す。表中の各量は、スパイラルフープ筋を用いた場合の破壊荷重 P_u を求める理論式で、

$$P_u = 0.85 \sigma_c A_c + \sigma_{sy}' A_s + \lambda \sigma_{sy} A_a$$

で表わされ、 σ_c はコンクリートの破壊強度 (kg/cm^2)、 A_c はスパイラルフープ筋より内部の有効断面積、 σ_{sy}' は鉄筋の降伏点応力度 (kg/cm^2)、 A_s は鉄筋の断面積、 σ_{sy} はスパイラルフープ筋の降伏点応力度 (kg/cm^2)、 A_a はらせん鉄筋換算断面積である。図-2 に実測された荷重-変位曲線を示す。降伏点荷重までは、各種とも同じ傾向を示すが、その後、ピッチの小さいものはほど荷重の低下が少なくな。降伏点荷重は $\sigma_{sy} = 130 \text{ kg/cm}^2$ の I グループではピッチ 2 cm のものが少し大きく、他は、ほとんど変化がない。 $\sigma_{sy} = 30 \text{ kg/cm}^2$ の II グループではいずれのピッチのものも、ほぼ同じ値を示した。破壊状況はピッチ 4 cm 、 6 cm のものは、ひび割れが入ると同時に、コンクリートのせん断により破壊した。ピッチ 2 cm のものはがぶり部分のコンクリートがはく離した後、座屈によって破壊した。図-3 に鉄筋の荷重分担率 ($E_s A_s / E_s P_u$) と荷重比 (P/P_u) の関係を示す。鉄筋の荷重分担率は 0.3 程度であり、弾性域内で

表-1 実験結果

	σ_c (kg/cm^2)	σ_{sy}' (kg/cm^2)	ピッチ (cm)	P_u (t)	① (t)	② (t)	$0.85 \sigma_c A_c$ (t)	$\sigma_{sy}' A_s$ (t)	$\lambda \sigma_{sy} A_a$ (t)	①-②-③ (t)	入	備考
I-A-1	214	130	2	36.7	11.6	6.8	18.3	1.3	0.3	座屈破壊		
I-A-2	214	130	2	35.5	11.6	6.8	17.1	1.3	0.3			
I-B-1	214	130	4	32.0	18.1	6.8	9.1	0.3	0.3	コンクリートのせん断破壊		
I-B-2	214	130	4	31.6	18.1	6.8	6.7	0.2	0.2			
I-C-1	214	130	6	30.0	18.1	6.8	5.1	0.3	0.3	断筋破壊		
I-C-2	214	130	6	30.8	18.1	6.8	5.9	0.3	0.3			
II-A-1	254	30	2	36.8	13.8	6.8	16.2	1.3	1.3	座屈破壊		
II-A-2	254	30	2	34.5	13.8	6.8	13.9	1.1	1.1			
II-B-1	254	30	4	35.6	21.6	6.8	7.2	1.1	1.1	コンクリートのせん断破壊		
II-B-2	254	30	4	33.4	21.6	6.8	5.0	0.8	0.8			
II-C-1	254	30	6	36.0	21.6	6.8	7.6	1.8	1.8	断筋破壊		
II-C-2	254	30	6	33.8	21.6	6.8	5.4	1.3	1.3			



は、スパイアラルフープ筋は働いていない。また、スパイアラルフープ筋のひずみは、破壊時でも $200\sim500\mu$ 程度で、いずれも降伏点に達していなかった。

3. 高強度コンクリートにスパイアラルフープを用いた場合の耐力

3.1 目的 2.においてピッチが 2 cm の時座屈破壊をおこしたので、フープの破断による破壊をさせるため高強度コンクリートを用いて実験を行なった。

3.2 実験方法 供試体は $10\times20\text{cm}^3$ の円柱供試体にスパイアラルフープ筋を入れたものである。材料および実験方法は2.と同様である。高強度コンクリートの配合は $W/C=28\%$, $S/a=40\%$ である。

3.3 結果および考察 試験結果を表-2に示す。表の各量は2.2と同じ記号を用いている。ここでピッチ 2 cm のものは破壊時には円形となるので正方形と同じ同様もつ円に換算した断面積を A_h とした。図-4に荷重変位曲線を示す。降伏点荷重近くまで荷重と変位は、ほぼ比例関係である。降伏点荷重はピッチ 2 cm の方が 4 cm のものよりIVとVのいずれのグループの場合も少しだきくなっている。IV-Aでは変位曲線は、降伏点荷重後、ほとんど横ばい状態となり、破壊付近で約 100t まで急上昇する。V-Aは降伏荷重の50%程度の荷重を持続したまま変位が増し、その後、荷重が 50t 程度まで増し破壊する。IV-Vいずれの場合もスパイアラルフープ筋の破断により破壊した。ピッチ 4 cm のものは降伏点荷重に達すると同時に、コンクリートのせん断により破壊した。

これからこの程度の断面では 2 cm のピッチでないとフープ筋の効果が十分に発揮されないものと考えられる。図-5にひび割れが入るまでのコンクリートの縦ひずみ、横ひずみ、スパイアラルフープ筋のひずみと荷重との関係を示す。横ひずみとスパイアラルフープ筋のひずみの伸びは、荷重の増加に対して同じような傾向を示す。このことからコンクリートとスパイアラルフープ筋は一体となって挙動していると考えられる。ひび割れが荷重発生する荷重はいずれの場合も $50\sim55\text{t}$ であった。また、スパイアラルフープ筋は折れ曲がった部分で破断した。これよりスパイアラルフープ筋は角型で用いると応力集中がおこり、円型で用いた方が有効であると考えられる。

参考文献

水野高明：鉄筋コンクリート工学

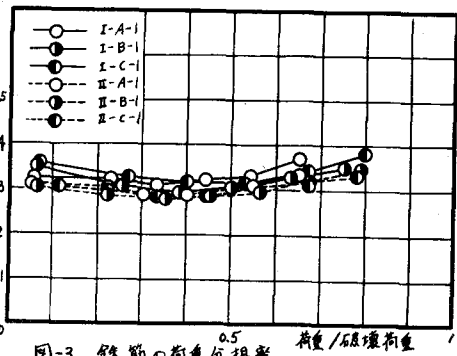


図-3 鉄筋の荷重分担率

表-2 実験結果

	σ_c (kg/cm^2)	σ_{sy} (kg/cm^2)	ε_{sy} (cm)	P_u (t)	$0.85 \cdot \sigma_{sy} A_h$ (t)	$\lambda \sigma_{sy} A_h$ (t)	λ	備考
IV-A-1	728	130	2	105.0	43.1	61.9	1.1	スパイアラルフープ筋 破断による破壊
IV-A-2	728	130	2	107.0	43.1	63.9	1.2	
IV-B-1	728	130	4	54.5	48.6	5.9	0.2	コンクリートの せん断破壊
IV-B-2	728	130	4	57.0	48.6	10.4	0.4	
V-A-1	728	30	2	65.1	43.1	22.0	1.8	スパイアラルフープ筋 破断による破壊
V-A-2	728	30	2	63.1	43.1	20.0	1.6	
V-B-1	728	30	4	58.3	48.6	9.7	1.5	コンクリートの せん断破壊
V-B-2	728	30	4	60.0	48.6	11.4	1.8	

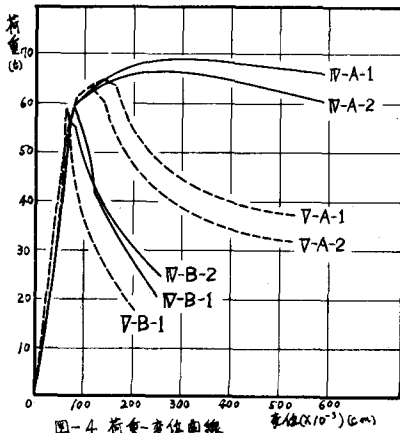


図-4 荷重-変位曲線

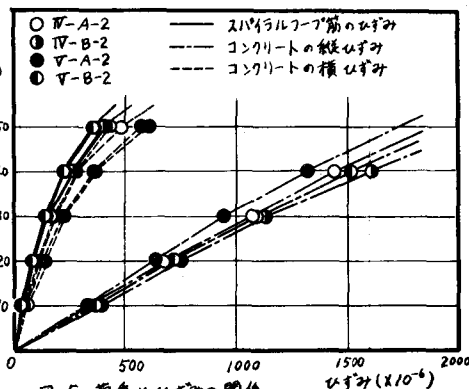


図-5 荷重とひずみの関係